

ISSN 1000-0933
CN 11-2031/Q

生态学报

Acta Ecologica Sinica



第 33 卷 第 12 期 Vol.33 No.12 2013

中国生态学学会
中国科学院生态环境研究中心
科学出版社

主办
出版



中国科学院科学出版基金资助出版

生态学报

(SHENTAI XUEBAO)

第33卷 第12期 2013年6月 (半月刊)

目 次

前沿理论与学科综述

- 森林低温霜冻灾害干扰研究综述 李秀芬, 朱教君, 王庆礼, 等 (3563)
碱蓬属植物耐盐机理研究进展 张爱琴, 庞秋颖, 阎秀峰 (3575)

个体与基础生态

- 中国东部暖温带刺槐花期空间格局的模拟与预测 徐琳, 陈效速, 杜星 (3584)
长白山林线树种岳桦幼树叶功能型性状随海拔梯度的变化 胡启鹏, 郭志华, 孙玲玲, 等 (3594)
油松天然次生林居群遗传多样性及与产地地理气候因子的关联分析 李明, 王树香, 高宝嘉 (3602)
施氮对木荷3个种源幼苗根系发育和氮磷效率的影响 张蕊, 王艺, 金国庆, 等 (3611)
围封对内蒙古大针茅草地土壤碳矿化及其激发效应的影响 王若梦, 董宽虎, 何念鹏, 等 (3622)
干热河谷主要造林树种气体交换特性的坡位效应 段爱国, 张建国, 何彩云, 等 (3630)
生物降解对黑碳及土壤上苯酚脱附行为的影响 黄杰勋, 莫建民, 李非里, 等 (3639)
3个树种对不同程度土壤干旱的生理生化响应 吴芹, 张光灿, 裴斌, 等 (3648)
冬小麦节水栽培群体“穗叶比”及其与产量和水分利用的关系 张永平, 张英华, 黄琴, 等 (3657)
不同秧苗素质和移栽密度条件下臭氧胁迫对水稻光合作用、物质生产和产量的影响
彭斌, 李潘林, 周楠, 等 (3668)

- 根域限制下水氮供应对膜下滴灌棉花叶片光合生理特性的影响 陶先萍, 罗宏海, 张亚黎, 等 (3676)
光照和生长阶段对菖蒲根系泌氧的影响 王文林, 王国祥, 万寅婧, 等 (3688)
植物病原菌拮抗性野生艾蒿内生菌的分离、筛选和鉴定 徐亚军, 赵龙飞, 陈普, 等 (3697)
不同生物型棉蚜对夏寄主葫芦科作物的选择 肖云丽, 印象初, 刘同先 (3706)
性别和温度对中华秋沙鸭越冬行为的影响 曾宾宾, 邵明勤, 赖宏清, 等 (3712)

种群、群落和生态系统

- 基于干扰的汪清林区森林生态系统健康评价 袁菲, 张星耀, 梁军 (3722)
洞庭湖森林生态系统空间结构均质性评价 李建军, 刘帅, 张会儒, 等 (3732)

景观、区域和全球生态

- 川西米亚罗林区不同海拔岷江冷杉生长对气候变化的响应 徐宁, 王晓春, 张远东, 等 (3742)
2001—2010年内蒙古植被净初级生产力的时空格局及其与气候的关系
穆少杰, 李建龙, 周伟, 等 (3752)
地形因子对盐城滨海湿地景观分布与演变的影响 侯明行, 刘红玉, 张华兵, 等 (3765)
毛乌素沙地南缘植被景观格局演变与空间分布特征 周淑琴, 荆耀栋, 张青峰, 等 (3774)
贵州白鹅湖沉积物中孢粉记录的5.5 kaB.P.以来的气候变化 杜荣荣, 陈敬安, 曾艳, 等 (3783)

- 典型河谷型城市春季温湿场特征及其生态环境效应 李国栋, 张俊华, 王乃昂, 等 (3792)
秦岭南北近地面水汽时空变化特征 蒋冲, 王飞, 喻小勇, 等 (3805)
露天矿区景观生态风险空间分异 吴健生, 乔娜, 彭建, 等 (3816)
基于 Holdridge 和 CCA 分析的中国生态地理分区的比较 孔艳, 江洪, 张秀英, 等 (3825)

资源与产业生态

- 中国农业生态效率评价方法与实证——基于非期望产出的 SBM 模型分析 潘丹, 应瑞瑶 (3837)
舟山市东极大黄鱼养殖系统能值评估 宋科, 赵展, 蔡慧文, 等 (3846)
不同基因型玉米间混作优势带型配置 赵亚丽, 康杰, 刘天学, 等 (3855)
气候与土壤对烤后烟叶类胡萝卜素和表面提取物含量的影响 陈伟, 熊晶, 陈懿, 等 (3865)

城乡与社会生态

- 成都市沙河主要绿化树种固碳释氧和降温增湿效益 张艳丽, 费世民, 李智勇, 等 (3878)

期刊基本参数: CN 11-2031/Q * 1981 * m * 16 * 326 * zh * P * ¥ 90.00 * 1510 * 33 * 2013-06



封面图说: 长白山南坡的岳桦林——长白山岳桦林位于海拔约 1700—2000m 之间的山坡。这种阔叶林分布在针叶林带的上面, 成为山地森林的上缘种类, 在世界山地森林中实属罕见。岳桦能够顽强地抗御长白山潮湿、寒冷、强风等恶劣气候因素, 在严酷的环境条件下形成纯林, 是与其独特的生长发育机理密切相关的。岳桦的枝干颇具韧性, 在迎风处, 由于风吹雪压, 树干成片地向背风侧倾斜, 这种特性使它能不畏风雪, 顽强生存。随着海拔的升高, 岳桦林也逐渐矮化, 这是岳桦林保护自身生存, 适应大自然的结果。

彩图及图说提供: 陈建伟教授 北京林业大学 E-mail: cites.chenjw@163.com

DOI: 10.5846/stxb201206120845

杜荣荣,陈敬安,曾艳,朱正杰.贵州白鹇湖沉积物中孢粉记录的5.5 kaB. P.以来的气候变化.生态学报,2013,33(12):3783-3791.
Du R R, Chen J A, Zeng Y, Zhu Z J. Climate change recorded mainly by pollen from baixian lake during the last 5.5ka . Acta Ecologica Sinica,2013 ,33 (12):3783-3791.

贵州白鹇湖沉积物中孢粉记录的5.5 kaB. P. 以来的气候变化

杜荣荣¹,陈敬安^{2,*},曾艳²,朱正杰²

(1. 贵州大学资源与环境学院,贵阳 550003; 2. 中国科学院地球化学研究所环境地球化学国家重点实验室,贵阳 550002)

摘要:通过对白鹇湖沉积物柱芯孢粉组合的剖面变化分析,在有机质¹⁴C定年基础上,探讨了白鹇湖地区过去5.5 ka calB. P.以来的植被演替和气候变化过程。研究结果表明,5500—4500 aB. P.期间,各类植被比较丰富,气候温暖湿润;4500—2750 aB. P.期间,干旱草本和蕨类植物开始出现,是气候转变过渡期;2750—1500 aB. P.期间,木本植物组合类型发生明显变化,喜湿草本减少,耐旱草本增加,气候向温凉干旱化发展;1500 aB. P.至今,木本植被和喜湿草本继续减少,中生耐旱草本和蕨类植物数量继续大幅增加,干旱化趋势明显,植被组合向典型石漠化植被组合类型发展。白鹇湖沉积物剖面孢粉组合变化表明,该地区近5000a来气候变化以温度下降、降水减少为主要趋势,并存在明显的陆地植被退化现象。研究还揭示了自然气候变化事件(如气候持续干旱)可导致喀斯特地区发生石漠化,证实了喀斯特地区生态环境具先天脆弱性。科学评估白鹇湖地区气候干旱化趋势及其生态环境影响对指导该地区科学应对气候变化具重要意义,亟待加强。

关键词:白鹇湖;沉积物;孢粉;植被;气候变化

Climate change recorded mainly by pollen from baixian lake during the last 5.5kaB. P.

DU Rongrong¹, CHEN Jing'an^{2,*}, ZENG Yan², ZHU Zhengjie²

1 College of Resources and Environmental Engineering, Guizhou University, Guiyang 550003, China

2 State Key Laboratory of Environmental Geochemistry, Institute of Geochemistry, Chinese Academy of Sciences, Guiyang 550002, China

Abstract: Sporopollen has the advantages of being a very tiny unit, being abundant and having a wide range of distribution. It reflects changes in vegetation very directly and also is sensitive to and reflects changes in the environment. Therefore, sporopollen has been applied broadly to reconstruct prehistoric environments. The perfect study site for collecting sporopollen is a small closed lake without a drainage outlet. Karst areas are the best places to study the relationships between climate and the environment, and an understanding of the evolution of past environments is needed before they can be adequately protected. Baixian Lake, a small closed lake located in a karst area in Guizhou is selected for this study.

Through an analysis of pollen assemblages of the sediment profile in Baixian Lake, we discuss the vegetation and climate change in the past 5.5 ka using organic ¹⁴C dating. The records of the pollen assemblages reveal four stages to the vegetative evolution and climate changes in the Baixian Lake region. From 5500—4500 aB. P. , various types of vegetation were relatively rich, with *Pinus*, *Quercus*, *Cyclobalanopsis*, *Lithocarpus/Castanopsis/Castanea* and other woody plants more frequent than other species. Plants and grass species preferring mesic habitats comprised as high as 30% of the flora on average while the percentage of herbs of non-mesic habitats as well as drought or cold tolerant herbs were relatively low,

基金项目:贵州省科技计划项目资助([2009]7011、[2006]400105)

收稿日期:2012-06-12; 修订日期:2013-03-11

* 通讯作者 Corresponding author. E-mail: chenjingan@vip.skleg.cn

averaging 2% of the flora. Ferns also comprised a relatively low percentage of the flora, less than 10%. These findings agree with climatic records based on cave related data, which implies that this period experienced a warm and humid climate during that time frame. From 4500—2750 aB. P., drought-resistant herbs and ferns began to appear more frequently, which implied a transition occurred as the climate changed. Trees of cool hygroscopic habitats appeared while some woody plants with seasonal resistance to drought decreased in frequency compared with the previous period. Xerophytic herbs such as *Artemisia* and ferns such as *Lepisorus* began to appear. From 2750—1500 aB. P., changes in woody plant species occurred. Tropical and subtropical woody species increased during this period, although small fluctuations in their populations occurred in the second half of this period with these species comprising up to 7% of the flora. Hygroscopic herbal or moist herbal content declined to 15%. The content of pollen from aquatic herbs in the Cyperaceae declined to 20000 grains/g and continued a downward trend in the next period. Hygroscopic herb species declined and drought tolerant herbaceous species increased in frequency. Cold- or drought-resistant herbs increased to 8% of the pollen flora; fern spore content in the sediment band from this time period was high, averaging 30%; sporopollen content in the Polypodiaceae and *Lepisorus* increased; this all indicated the climate tended to be cool and dry. Since 1500 aB. P., woody plants and moisture-loving herbs continued to decline, while hygroscopic herbs and coniferous trees almost disappeared, and plants and grasses of mesic habitats made up about 15% of sporopollen samples. Gramineae pollen content increased and *Artemisia* pollen content increased to 100000 grains/g, reaching a maximum at 400000 grains/g. Hygroscopic Cyperaceae content declined to almost nothing. Herbs and ferns continued to increase, while cold or drought tolerant herb pollen content increased and fluctuated, the highest point reaching 12%. Fern spores in the samples continue to increase in number, in this period, aridification obviously intensified, reached 35%. The vegetation tended to be dominated by the plants adapted to conditions with rocky desertification. The pollen assemblages in Baixian Lake showed that temperature and precipitation gradually decreased, while the vegetation obviously degraded in the last 5000 aB. P.. This study also reveals that the climatic events (e.g., the continuous dry climate) can result in rocky karst desertification, and supports the idea that the environment in the karst region is innately fragile. Therefore, scientific assessment of aridification and the associated effect on the environment in the Baixian Lake region is essential in addressing climate change, and future research in this field is needed.

Key Words: Baixian Lake; sediment; pollen; vegetation; climate change

植物在繁殖期间要撒出大量花粉(植物)和孢子(苔藓类、蕨类等),一部分孢粉散落在土壤表面,随地表径流迁移入湖;一部分孢粉随风飘扬,直接沉降到湖泊,并保存在沉积物中。不同植物种属的孢粉形态各不相同,根据沉积物不同层位的孢粉形态分析,可以判断其母体植物种属,从而可推断该地区的植被和气候变迁。孢粉具有个体小、数量大、分布广泛等优点,在古植被恢复方面得到了广泛应用。理想的孢粉研究地点是封闭的小型湖泊^[1]。贵州白鹤湖是位于喀斯特地区的一小型山区封闭型湖泊。喀斯特地区的生态环境具有先天脆弱性^[2-3],对气候变化敏感,是研究气候变化-生态环境耦合关系的理想场所。本文选取贵州典型喀斯特地区的白鹤湖为研究对象,通过对沉积物孢粉组合的研究,探讨该地区近5000年来的植被演替和气候变化过程。

1 白鹤湖概况

贵州茂兰喀斯特保护区位于贵州省荔波县,其东南面与广西环江县毗邻,是云贵高原向湖广丘陵盆地的过渡地带。东西宽22.8 km,南北长21.8 km,地理位置为25°09'20"—25°20'50"N,107°52'10"—108°05'40"E,保护区面积2×10⁴ hm²,森林覆盖率在90%以上。茂兰喀斯特林区受中亚热带季风湿润气候影响,春秋温暖,冬无严寒,夏无酷暑,且雨量充沛,年均气温约18℃,年平均降水量1700 mm左右。该保护区除局部地区覆盖少量页岩外,主要分布纯质石灰岩和白云岩^[4]。白鹤湖位于贵州省荔波县茂兰镇(半)原始森林区(图

1),位于接近山顶地区的凹地(海拔约 700 m)。湖泊面积约 5000 m²,平均水深约 2 m,湖盆周围广泛分布着碳酸盐岩。



图 1 白鹇湖地理位置示意图

Fig. 1 Map showing the location of Lake Baixian

茂兰森林现生群落乔木层树种主要有圆果化香(*Platycarya longipes*)、翅荑香槐(*Cladrastis platycarpa*)、青冈(*Quercus glarca*)、椤木石楠(*Photinia davidsoniae*)、掌叶木(*Handeliodendron bodinieri*)等。灌木层主要有湖北十大功劳(*Mahonia confusa*)、球核荚(*Viburnum propinquum*)、贵州悬竹(*Ampelocalamus calcareus*)等。草本有庐山楼梯草(*Elatostema stewardii*)、翠云草(*Selaginella uncinata*)、柳叶蕨(*Cyrtogonellum fraxinellum*)等植物^[5-7]。草坡以禾本科草本植物为主,灌丛草坡以草本植物占优,灌木层种类主要有枫香(*Liquidambar*)、杨梅(*Myrica*)、盐肤木(*Rhus chinensis*)、香叶树(*Lindera communis*)、野牡丹(*Melastomaceae*)等;灌木林主要树种有青冈栎(*Quercus Glauca*)、小叶柿(*Diospyros mollifolia*)、女贞(*Ligustrum lucidum*)等;乔灌林层次分化明显,主林层由枫香(*Liquidambar*)、椿木(*Ailanthus*)、黄檀(*Dalbergia*)等组成;灌木层由香叶树(*Lindera communis*)、藤黄檀(*Garcinia*)、老虎刺(*Pterolobium punctatum Hemsl*)、拔葜(*Smilaxchinal*)、朴树(*Celtis*)组成^[8]。

2 样品采集与分析

利用课题组自我研制的沉积物柱芯取样装置于 2007 年 5 月在白鹇湖湖心区采得长 56 cm 的沉积物柱芯。所采沉积物柱芯保存完好,悬浮层未受扰动。沉积物柱芯在野外现场按 1 cm 间隔分样,装入塑料自封袋中密闭保存。运回实验室后,沉积物样品经真空冷冻干燥器干燥后,称量样品干重,密封保存备用。

对从沉积物柱芯中挑选出的陆源植物碎屑样品,在环境地球化学国家重点实验室前处理,制备成 CO₂ 气体送至苏格兰大学环境研究中心 (Scottish Universities Environmental Research Centre) 利用加速器质谱 (Accelerator Mass Spectrometry) 进行放射性¹⁴C 测年,并使用高精度¹⁴C 树轮年龄校正曲线校正为日历年 (Calibrated age)。

孢粉分析在中国地质科学院水文地质环境地质研究所孢粉实验室完成,采用常规的 HF 酸处理法,每个样品的孢粉统计数量约为 500—800 粒,共鉴定统计孢粉 23287 粒。

3 结果分析

在白鹇湖沉积物柱芯 49 cm 深度处,发现了一个非常适合于¹⁴C 测年的陆源植物碎屑样品,其¹⁴C 测年结

果为 (4943 ± 30) a.B. P.,由此可计算出白鹤湖平均沉积速率约为 $1\text{ cm}/100\text{ a}^{[4]}$ 。白鹤湖位于(半)原始森林区,基本不受人为活动影响,其沉积速率相对保持稳定,采用内插法可计算各沉积物样品的对应年代。该沉积物柱芯记录了白鹤湖过去5000多年来的生态环境变化历史。

据各种属孢粉粒数量与总孢粉粒数量可得到各孢粉所占百分比。计算公式为:

$$P = (Q/X) \times 100\%$$

式中, P 为各科属植物孢粉所占百分比(%), Q 为各科属植物孢粉数(粒), X 为各科属植物孢粉总数(粒)^[9-11]。根据各种类植物的习性不同,将孢粉分成9个组合(图2):喜湿针叶乔木组、凉湿落叶阔叶乔木组、一定季节耐干木本、热带、亚热带木本、热带和温带喜温暖湿润木本、温带和亚寒带耐寒和耐旱木本、喜湿或湿生草本、中生和耐寒或耐旱草本、蕨类。

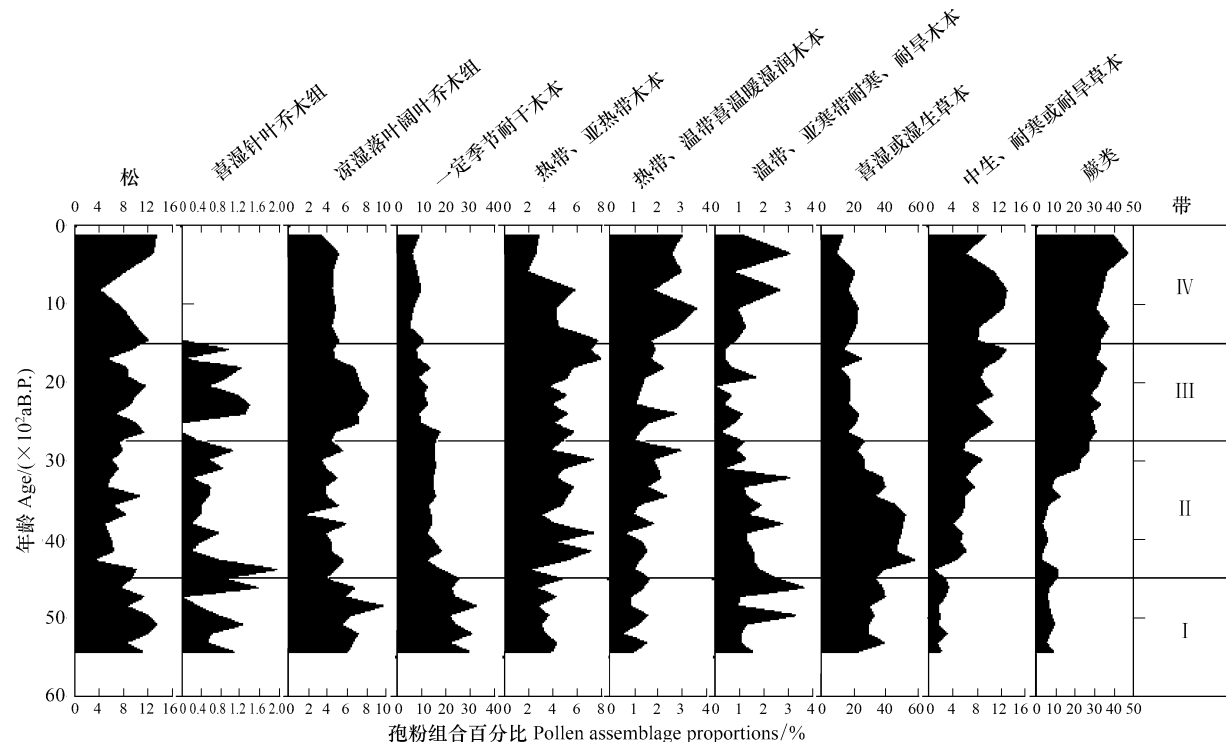


图2 白鹤湖LB-1柱芯孢粉组合百分比图谱

Fig. 2 Pollen palynological assemblages diagram in core LB-1 in the Baixian lake

(1)喜湿针叶乔木组 铁杉(*Tsuga*)、泪杉(*Dacrydium*)、杉科(Taxodiaceae)。

(2)凉湿落叶阔叶乔木组 棕榈科(Palmae)、桦(*Betula*)、鹅耳枥(*Carpinus*)、楷木(*Alnus*)、槭树(*Acer*)、胡桃(*Juglans*)、榆(*Ulmus*)、青钱柳(*Cyclocarya*)、朴(*Celtis*)、榉(*Zelkova*)、椴(*Tilia*)、山毛榉(*Fagus*)、枫杨(*Pterocarya*)、杨梅(*Myrica*)、落叶栎(*Quercus*)。

(3)一定季节耐干木本 石栎/栲/栗(*Lithocarpus/Castanopsis/Castanea*)、黄杞(*Engelhardtia*)、化香(*Platycarya*)、山核桃(*Carya*)、枫香(*Liquidambar*)、冬青(*Ilex*)、野桐(*Mallotus*)、桃金娘科(Myrtaceae)、萸竹桃科(Apocynaceae)、漆树科(Anacardiaceae)、南酸枣(*Choerospondias*)、黄连木(*Pistacia*)、常绿栎(*Cyclobalanopsis*)。

(4)热带、亚热带木本 大风子科(Flacourtiaceae)、金缕梅科(Hamamelidaceae)、山榄科(Sapindaceae)、芸香科(Rutaceae)、桑科(Moraceae)、紫金牛科(Myrsinaceae)、酸藤子(*Embelia*)、紫金牛(*Ardisia*)、杜茎山(*Maesa*)、胡椒(*Peperomia*)等。

(5)热带、温带木本 山麻杆(*Alchornea*)、五月茶(*Antidesma*)、梭罗树(*Reevesia*)、梾木(*Cornas*)、白蜡树(*Fraxinus*)、柳(*Salix*)、五加科(Araliaceae)、猕猴桃(*Actinidiaca*)、鼠李科(Rhamnaceae)、莢迷(*Viburnum*)、忍冬

(*Lonicera*)、木犀科(*Oleaceae*)、女贞(*Ligustrum*)、马桑(*Coriaria*)。

(6) 温带、亚寒带或耐寒、耐旱木本 柞木(*Xylosma*)、榛(*Corylus*)、花椒(*Zanthoxylum*)、卫矛(*Euonymus*)、接骨木(*Sambucus*)、杜鹃花科(*Ericaceae*)、胡秃子科(*Elaeagnaceae*)。

(7) 喜湿或湿生草本 紫菀(*Aster*)、毛茛(*Ranunculus*)、蓼科(*Polygonaceae*)、紫茉莉(*Mirabilis*)、十字花科(*Cruciferae*)、半边莲(*Lobelia*)、柳叶菜(*Epilobium*)、百合(*Lilium*)、莎草科(*Cyperaceae*)、禾本科(*Gramineae*)等。

(8) 中生、耐寒或耐旱草本 绣线菊(*Spiraea*)、藜科(*Chenopodiaceae*)、蔷薇(*Rosa*)、蒿(*Artemisia*)、菊科(*Compositae*)、大戟科(*Euphorbiaceae*)、唇形科(*Labiatae*)、桔梗科(*Campanulaceae*)、苦苣苔科(*Gesneriaceae*)等。

(9) 蕨类 石松(*Lycopodium*)、卷柏(*Sellaginella*)、水龙骨科(*Polypodiaceae*)、瓦韦(*Lepisorus*)、石韦(*Pyrrosia*)、蹄盖蕨(*Athyrium*)、铁线蕨(*Adiantum*)、凤尾蕨(*Pteris*)、里白(*Hicriopteris*)、鳞盖蕨(*Microlepria*)、金星蕨科(*Thelypteridaceae*)、海金沙(*Lygodium*)、莲座蕨(*Angiopteris*)、单缝孢(*Monolete spores*)等。

选择孢粉百分含量大于1%，花粉粒数在1000粒/g以上且具有生态环境指示意义的孢粉属种，用grapher 5.0和origin 7.5绘制孢粉浓度图谱^[10]。共选了14个浓度高的种属：落叶栎(*Quercus*)、常绿栎(*Cyclobalanopsis*)、石栎/栲/栗(*Lithocarpus/Castanopsis/Castanea*)、榆(*Ulmus*)、无患子科(*Sapindaceae*)、山麻杆(*Alchornea*)、榛(*Corylus*)、花椒(*Zanthoxylum*)、杜茎山(*Maesa*)、禾本科(*Gramineae*)、蒿(*Artemisia*)、莎草科(*Cyperaceae*)、水龙骨科(*Polypodiaceae*)、瓦韦(*Lepisorus*)。

在孢粉浓度图式中，以常绿栎(*Cyclobalanopsis*)、禾本科(*Gramineae*)、蒿(*Artemisia*)、莎草科(*Gyperaceae*)和水龙骨科(*Polypodiaceae*)等属种变化最为明显，以此变化结合孢粉组合百分比图谱作为划带主要依据。将湖泊沉积物柱芯从下到上划分为4个孢粉组合带(图2,图3)。

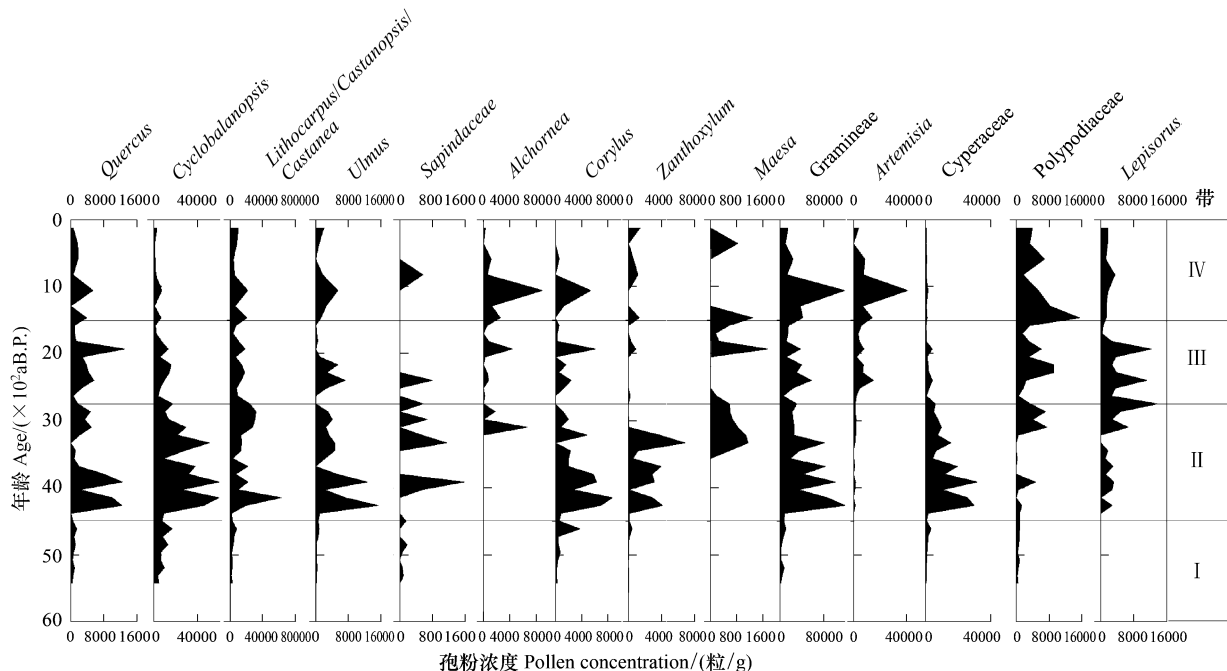


图3 白鹇湖 LB-1 柱芯孢粉浓度图谱

Fig. 3 Pollen concentration diagram in core LB-1 in the Baixian lake

带I, 47.5—39 cm, 即5500—4500 aB. P. 期间

本带喜湿针叶乔木平均约0.6%，凉湿落叶阔叶乔木平均值达7%；一定季节耐干木本平均27%；热带、亚热带木本平均约3.5%；热带、温带木本平均1%；温带、亚寒带耐寒或耐旱木本平均2%；喜湿或湿生草本

平均含量高,达30%;中生、耐旱或耐寒草本含量相对低,平均2%,蕨类植物含量也相对较低,小于10%。松(*Pinus*)、落叶栎(*Quercus*)、常绿栎(*Cyclobalanopsis*)、石栎/栲/栗(*Lithocarpus/Castanopsis/Castanea*)等木本植物都较多。从图3可见这一时期,草本主要是禾本科(Gramineae)、喜湿性莎草科(Cyperaceae);蕨类有喜湿的水龙骨科(Polypodiaceae);而耐旱的蒿(*Artemisia*)含量为0。

带Ⅱ,39.50—23.5 cm,即4500—2750 aB.P.期间。本带松(*Pinus*)含量与上一时期比有所降低,平均约6%;喜湿针叶乔木平均0.4%;凉湿落叶乔木与上一时期相比含量有所降低,平均4%;一定季节耐干木本与上一时期相比也有所降低,平均15%;热带、亚热带木本乔木与上一时期比,稍有上升,平均5%;热带、温带木本平均1.5%;温带、亚寒带耐寒或耐旱木本1.8%;喜湿或湿生草本在本带含量最高,与上一时期比有所增加,平均40%;中生、耐寒或耐寒草本含量升高,平均6%;蕨类植物在本带的后半时期升高至25%。落叶栎(*Quercus*)、常绿栎(*Cyclobalanopsis*)含量较高,分别为4000粒/g和30000粒/g左右;草本禾本科(Gramineae)和湿生莎草科(Cyperaceae)花粉浓度含量也是最高的,分别为40000粒/g和200000粒/g左右;而旱生草本蒿(*Artemisia*)开始出现;蕨类植物除水龙骨科(Polypodiaceae)含量波动外,还有瓦韦(*Lepisorus*)开始出现。

带Ⅲ,23.5—13.5 cm,即2750—1500 aB.P.期间

松(*Pinus*)约8%;喜湿针叶乔木平均0.8%;凉湿落叶阔叶乔木含量稍稍升高,约为7%;一定季节耐干木本花粉含量下降,小于10%;热带、亚热带木本与上一时期差不多,小幅波动,在该带的后半期上升至7%;热带、温带木本花粉平均1%;温带、亚寒带木本含量稍稍降低,平均1%;喜湿或湿生草本含量降低至15%;中生、耐寒或耐旱草本升高至8%;蕨类植物在本带含量高,平均30%。落叶栎(*Quercus*)、常绿栎(*Cyclobalanopsis*)和石栎/栲/栗(*Lithocarpus/Castanopsis/Castanea*)含量都不高;而花椒(*Zanthoxylum*)几乎没有;榆(*Ulmus*)和榛(*Corylus*)含量与上一时期比也有所降低;禾本科(Gramineae)含量降低至30000粒/g以下;蒿(*Artemisia*)含量升高至80000粒/g左右;而湿生草本莎草科(Cyperaceae)含量降低至20000粒/g以下,并继续呈下降趋势;蕨类植物水龙骨科(Polypodiaceae)和瓦韦(*Lepisorus*)含量均上升。

带Ⅳ,13.5—0 cm,即1500 aB.P.—今

松(*Pinus*)约8%;喜湿针叶乔木含量为0;凉湿落叶阔叶乔木花粉5%以下;一定季节耐干木本花粉低于10%;热带、亚热带木本波动下降,在该带的后半期降至3%以下;热带、温带木本花粉含量升高至平均3%;温带、亚寒带木本花粉含量稍稍降低至2%;喜湿或湿生草本花粉约15%;中生、耐寒或耐旱草本花粉含量升高波动变化,最高时达到12%;蕨类植物孢子在本带含量继续升高,平均35%,最高时高于45%。落叶栎(*Quercus*)、常绿栎(*Cyclobalanopsis*)和石栎/栲/栗(*Lithocarpus/Castanopsis/Castanea*)含量都不高;而花椒(*Zanthoxylum*)依然几乎没有;榆(*Ulmus*)和榛(*Corylus*)含量与上一时期比又有所降低;禾本科(Gramineae)含量有所升高;蒿(*Artemisia*)含量升高至100000粒/g左右,最高时达到400000粒/g;而湿生草本莎草科(Cyperaceae)含量降低至几乎没有;蕨类植物水龙骨科(Polypodiaceae)含量上升,瓦韦(*Lepisorus*)含量稍稍下降。旱生草本在这一时期基本呈上升趋势,湿生草本含量降低,显示这一时期以气候持续变干为主。

4 白鹤湖古植被与古气候变化历史

白鹤湖地区现生种由圆果化香(*Platycarya longipes*)、翅葵香槐(*Cladrastis platycarpa*)、青冈(*Quercus glarca*)、椤木石楠(*Photinia davidsoniae*)、掌叶木(*Handeliodendron bodinieri*)、湖北十大功劳(*Mahonia confusa*)、球核荚(*Viburnum propinquum*)、贵州悬竹(*Ampelocalamus calcareus*)、庐山楼梯草(*Elatostema stewardii*)、翠云草(*Selaginella uncinata*)、柳叶蕨(*Cyrtogonellum fraxinellum*)等植物组成^[5]。剖面中,松孢粉含量一直比较稳定,松孢粉是传播较远的种属,松可能来自远源。石漠化地区主要植被以草本、蕨类及灌木为主^[12]。白鹤湖沉积物孢粉应该来源于白鹤湖流域及周边地区植被,通过风传播和地表径流带入。根据孢粉分析结果,白鹤湖地区古植被与古气候变化可分为4个阶段。

I带 5500—4500 aB.P.期间,气候温暖湿润

松(*Pinus*)、常绿栎(*Cyclobalanopsis*)、石栎/栲/栗(*Lithocarpus/Castanopsis/Castanea*)、枫香(*Liquidambar*)、

禾本科(Gramineae)、莎草科(Cyperaceae)及单缝包(*Monolete spores*)含量较高,苦苣苔科(Gesneriaceae)、大戟科(Euphorbiaceae)等中旱生草本含量很低,旱生蒿类(*Artemisia*)花粉为零,水龙骨科(Polypodiaceae)和鳞盖蕨(*Microlepria*)及瓦韦(*Lepisorus*)等蕨类植物孢子含量很低,其中栎属(*Quercus*)、石栎属(*Lithocarpus*)为山地湿性常绿阔叶林的特征属。温暖湿润的气候条件,适宜大多数种类植物的生长。图2显示该带喜湿针叶木本、凉湿阔叶落叶木本,热带、温带木本及喜湿草本百分比都较高,而中旱生草本和蕨类植物含量较低;图3可见落叶栎(*Quercus*)、常绿栎(*Cyclobalanopsis*)、石栎/栲/栗(*Lithocarpus/Castanopsis/Castanea*)等木本植物都较多,草本主要是禾本科(Gramineae)、喜湿性莎草科(Cyperaceae);蕨类有喜湿的水龙骨科(Polypodiaceae);而耐旱的蒿(*Artemisia*)含量为0。对应这一时期,桂林响水洞和荔波董哥洞石笋 $\delta^{18}\text{O}$ 值平均为-6.15‰、-8.02‰,与石笋序列平均值相比偏负,显示这一时期西南地区为气候适宜期^[13]。贵州白骨洞石笋 $\delta^{18}\text{O}$ 值也显示这一时期降雨充沛^[14]。草海 $\delta^{18}\text{O}$ 值也显示这一阶段气温较高^[15]。湖泊孢粉记录与洞穴记录的一致性表明这段时期内,贵州地区主要表现为温暖湿润的气候特征。

II带 4500—2750 aB. P. 期间,是该区的气候转变过渡期

本带松(*Pinus*)花粉含量与上一时期比有所降低,平均6%;喜湿针叶乔木花粉平均0.4%;凉湿落叶乔木和一定季节耐干木本花粉与上一时期相比也有所降低,平均15%;热带、亚热带木本乔木与上一时期比,稍有上升,平均5%;热带、温带木本花粉平均1.5%;温带、亚寒带耐寒或耐旱木本花粉约1.8%;喜湿或湿生草本花粉在本带含量最高,与上一时期比有所增加,平均40%,但在3600 aB. P. 以来呈降低趋势;中生、耐寒或耐旱草本含量升高,平均6%;蕨类植物在本带的后半时期升高至25%。落叶栎(*Quercus*)、常绿栎(*Cyclobalanopsis*)含量较高,分别为4000粒/g和30000粒/g左右;禾本科(Gramineae)和湿生莎草科(Cyperaceae)花粉浓度含量也是最高的,分别为40000粒/g和200000粒/g,但在4000 aB. P. 以后呈逐渐下降趋势;旱生草本蒿(*Artemisia*)开始出现,并且呈缓慢上升的趋势;蕨类植物除水龙骨科(Polypodiaceae)含量波动外,还有瓦韦(*Lepisorus*)开始出现。以上特征表明,这一时期,木本植物稍有减少,草本含量开始增加,并且草本中的喜湿类含量由高向低转变,而旱生类草本开始出现并且呈增长趋势,表明该期是气候转变过渡期,气候开始向干旱发展,气温逐渐下降。桂林响水洞、荔波董哥洞和云南宁蒗仙人洞石笋 $\delta^{18}\text{O}$ 记录显示4000—2100 aB. P. 时段内是气候冷事件的突变或转变期,气温降低^[13]。而云南拱王山地区4.7—2.1 KaB. P. 时段气候凉湿^[16]。由于地理位置不同,两地在降水方面存在差异,但这些记录均反映这一时期气温降低。

III带 2750—1500 aB. P. 期间,气候温凉干旱

该带松(*Pinus*)花粉平均8%,与上一时期接近;喜湿针叶乔木花粉平均0.8%,与上时期比略有增加;凉湿落叶阔叶乔木含量稍稍升高,为7%;一定季节耐干木本含量下降,低于10%;热带、亚热带木本与上一时期接近,仅有小幅波动,在该带的后半期上升至7%;热带、温带木本平均1%;温带、亚寒带木本含量稍稍降低,平均1%;喜湿或湿生草本含量降低至15%;中生、耐寒或耐旱草本升高至8%;蕨类植物孢子在本带含量较高,平均30%。落叶栎(*Quercus*)、常绿栎(*Cyclobalanopsis*)和石栎/栲/栗(*Lithocarpus/Castanopsis/Castanea*)含量都不高;花椒(*Zanthoxylum*)几乎消失出现;榆(*Ulmus*)和榛(*Corylus*)含量与上一时期比也有所降低;禾本科(Gramineae)含量降低至30000粒/g以下;蒿(*Artemisia*)含量升高至80000粒/g;而湿生草本莎草科(Cyperaceae)含量降低至20000粒/g以下,并继续呈下降趋势;蕨类植物水龙骨科(Polypodiaceae)和瓦韦(*Lepisorus*)含量均上升。综合上述特征,乔木灌木种类没有一致性变化,一些种类有所减少,而另一些种类又有所增加;木本植物对环境变化有一定的抵御力,整体上没有太大变化;草本总体上数量增加,但喜湿草本减少,而耐旱草本显著增加,尤其是适宜石漠化环境的蕨类植物大幅增加^[12]。上述事实表明该时期气候向温凉干旱转变,该区植被组合逐渐趋向石漠化地区的植被组合。该区孢粉记录的气候变化与洞穴石笋记录的4000—2100 aB. P. 时段内气温降低相一致^[13]。白鹤湖沉积物柱芯有机质C/N比值、Sr/Rb比值变化分析结果亦表明3.6—2.2 kaB. P. 气候持续向干旱化方向发展^[4]。

IV带 1500 aB. P. 至今,气候干旱、温凉

松(*Pinus*)平均8%;喜湿针叶乔木含量为0;凉湿落叶阔叶乔木花粉低于5%;一定季节耐干木本低于10%;热带、亚热带木本波动下降,在该带的后半期降至3%以下;热带、温带木本含量升高至平均3%;温带、亚寒带木本含量稍稍降低,平均2%;喜湿或湿生草本花粉平均5%左右;中生、耐寒或耐旱草本花粉升高且波动变化,最高时达到12%;蕨类植物在本带含量继续升高,平均35%,最高时高于45%。落叶栎(*Quercus*)、常绿栎(*Cyclobalanopsis*)和石栎/栲/栗(*Lithocarpus/Castanopsis/Castanea*)含量都不高;而花椒(*Zanthoxylum*)依然几乎消失;榆(*Ulmus*)和榛(*Corylus*)含量与上一时期比又有所降低;禾本科(Gramineae)含量有所升高;蒿(*Artemisia*)含量升高至100000粒/g左右,最高时达到400000粒/g;而湿生草本莎草科(Cyperaceae)含量降低至几乎没有;蕨类植物水龙骨科(Polypodiaceae)含量上升,瓦韦(*Lepisorus*)含量稍稍下降。木本的变化说明了该区气候向温凉转变,草本和蕨类的变化反应了气候干旱化,蕨类的大量生长说明了该区生态环境向石漠化方向发展。贵州东部洞穴石笋记录也反映这一时期气候波动并向温凉干旱发展^[17]。白鹇湖位于接近山顶地区的(半)原始森林区,人为活动影响很少,其生态环境主要受自然地质环境条件和气候变化影响。因此,上述研究结果还揭示了自然气候变化事件(如气候的持续干旱)也可导致喀斯特地区发生石漠化,证实了喀斯特地区生态环境具先天脆弱性。

5 结论

白鹇湖孢粉记录揭示该地区近5000年来经历了4个不同的植被与气候变化阶段:5500—4500 aB.P.期间,各类植被比较丰富,气候温暖湿润;4500—2750 aB.P.期间,木本植被变化不大,干旱草本和蕨类植物开始出现,是气候转变过渡期;2750—1500 aB.P.期间,木本植物组合发生明显变化,喜湿草本减少,耐旱草本增加,气候继续向温凉干旱化发展;1500 aB.P.至今,木本植被和喜湿草本继续减少,中生耐旱草本和蕨类植物数量继续大幅增加,干旱化趋势明显,植被组合向典型石漠化植被组合类型发展。白鹇湖沉积物剖面孢粉组合变化表明,该地区近5000年来气候变化以温度下降、降水减少为主要趋势,并存在明显的植被退化现象。本研究也表明,自然气候变化事件(如气候持续干旱)可导致喀斯特地区发生石漠化,科学评估白鹇湖地区气候干旱化趋势及其生态环境影响对指导该地区合理应对气候变化具重要意义,在今后的研究工作中亟待加强。

References:

- [1] Wo K D. Yunnan pollen data on the significance of the tropical and subtropical regions//Quaternary Collaborative Research Group of Chinese Academy of Sciences in Australia. China-Australia Quaternary Symposium Collection, Beijing: Science Press, 1987: 21-27.
- [2] Wan G J. Carbonate and Environment (Volume 1). Beijing: Seismological Press, 1995: 1-90.
- [3] Wan G J. Carbonate and Environment (Volume 2). Beijing: Seismological Press, 2000: 1-6.
- [4] Chen J A, Zen Y, Zhang W, Li J, Zhu Z J. Day event at 4—2kaB.P. recorded by the sediments of Baixian lake and it's impact on the regional eco-environment. Quaternary Sciences, 2010, 30(6): 1131-1137.
- [5] Long C L, Yu S X. Space variation of seed rain and seed bank in gaps of Karst forest in Maolan nature reserve, Guizhou Province. Acta Botanica Yunnanica, 2007, 29(3): 327-332.
- [6] Long C L. Regeneration and the quantitative characteristics of trees in gaps in karst forest in Maolan Natural Reserve, Guizhou province. Journal of Yunnan University, 2007, 29(3): 317-323.
- [7] Long C L, Zhu S Q. A preliminary discussion on the fate of seeds in soil seed bank of karst forest. Journal of Guizhou Normal University: Natural Sciences, 2001, 19(2): 20-22.
- [8] Li Y Y, Mu B, Zhu X K, Long C L. Microclimate characteristics of different successional stages of communities of Karst forest. Journal of Mountain Agriculture and Biology, 1998, 17(6): 364-367.
- [9] Pan T, Wu S H, Dai E H, Wang H, Zhao D S. Quantitative relationships between surface pollen and spores assemblages and vegetation in the Southern Subtropics of Yunnan Province, China. Acta Ecologica Sinica, 2008, 28(12): 6060-6069.
- [10] Xu Z P, Chen J X, Xiao J Y. Pollen records since late middle-2 pleistocene in the Kunming Basin, Yunnan Province and paleoclimate evolution. Acta Geologica Sinica, 2009, 83(1): 65-78.
- [11] Yang X D, Wang S M, Tong G B, Wu J L, Jiang X Z. The late pleistocene pollen record in the lake sediments from ancient Heqing lake and its

- significance for palaeoclimate. *Quaternary Sciences*, 1998, (4): 335-343.
- [12] Zhao Z Y, Yuan D X, Luo L D, Shi S Q, Hao X D. Aalynological assemblage characters and the ecologic significance among rocky desert of different grades—A case in Huaijiang. *Carsologica Sinica*, 2010, 29(2): 113-120.
- [13] Zhang M L, Tu L L, Lin Y S, Qin J M, Wang H, Feng Y M, Yang Y, Zhu X Y. The cooling events from stalagmite records during the middle and late Holocene in southwest China. *Carsologica Sinica*, 2004, 23(4): 283-290.
- [14] Wu J Y, Wang Y J, Kong X G. Evolution and abrupt changes of the Holocene Asian monsoon climate recorded by stalagmite in Baigu cave in Guizhou. *Marine Geology and Quaternary Geology*, 2006, 26(5): 55-61.
- [15] Tao F X, Hong Y T, Jiang H B. The near 8Ka climate change in Caohai Guizhou. *Chinese Science Bulletin*, 1996, 41(16): 1489-1492.
- [16] Zhang W, Mu K H, Cui Z J, Feng J L, Yang J Q. Record of the environmental change since Holocene in the region of Gongwang mountain, Yunnan province. *Earth and Environment*, 2007, 35(4): 343-351.
- [17] Zhang M L, Cheng H, Lin Y S, Qin J M, Zhu X Y, Yang Y, Chen H M, Edwards R L. High-resolution climatic record from a stalagmite in the past 2000 years in Libo, Guizhou Province. *Acta Sedimentologica Sinica*, 2006, 24(3): 339-348.

参考文献:

- [1] D. 沃克. 云南花粉资料对热带亚热带区域的意义//中国科学院中澳第四纪合作研究组编. 中国-澳大利亚第四纪学术讨论会文集, 北京: 科学出版社, 1987: 21-27.
- [2] 万国江. 碳酸盐岩与环境(卷一). 北京: 地震出版社, 1995: 1-90.
- [3] 万国江. 碳酸盐岩与环境(卷二). 北京: 地震出版社, 2000: 1-6.
- [4] 陈敬安, 曾艳, 张维, 李键, 朱正杰. 贵州白鹤湖沉积物记录的 4—2kaB. P. 干旱气候事件及其生态环境影响. 第四纪研究, 2010, 30(6): 1131-1137.
- [5] 龙翠玲, 余世孝. 茂兰喀斯特森林林隙种子雨、种子库空间变异. 云南植物研究, 2007, 29(3): 327-332.
- [6] 龙翠玲. 茂兰喀斯特森林林隙树种更新及数量特征. 云南大学学报: 自然科学版, 2007, 29(3): 317-323.
- [7] 龙翠玲, 朱守谦. 喀斯特森林土壤种子库种子命运初探. 贵州师范大学学报: 自然科学版, 2001, 19(2): 20-22.
- [8] 李援越, 穆彪, 祝小科, 龙翠玲. 喀斯特森林不同演替阶段群落的小气候特征. 山地农业生物学报, 1998, 17(6): 364-367.
- [9] 潘韬, 吴绍洪, 戴尔阜, 王昊, 赵东升. 云南亚热带南部表土孢粉组合与植被间的定量关系. 生态学报, 2008, 28(12): 6060-6069.
- [10] 许哲平, 陈建强, 肖景义. 云南昆明盆地中更新世晚期以来的孢粉记录及古气候演化. 地质学报, 2009, 83(1): 65-78.
- [11] 羊向东, 王苏民, 童国榜, 吴敬禄, 蒋雪中. 云南鹤庆古湖晚更新世的孢粉记录及其古气候学意义. 第四纪研究, 1998, (4): 335-343.
- [12] 赵增友, 袁道先, 罗伦德, 石胜强, 郝秀东. 不同石漠化等级的孢粉组合特征及其生态指示意义——以花江实验区为例. 中国岩溶, 2010, 29(2): 113-120.
- [13] 张美良, 涂林玲, 林玉石, 覃嘉铭, 王华, 冯玉梅, 杨琰, 朱晓燕. 中国西南地区中一晚全新世降温事件的石笋记录. 中国岩溶, 2004, 23(4): 283-290.
- [14] 吴江瑾, 汪永进, 孔兴功. 贵州白骨洞石笋记录的全新世季风气候演化与突变. 海洋地质与第四纪地质, 2006, 26(5): 55-61.
- [15] 陶发祥, 洪业汤, 姜洪波. 贵州草海地区最近 8Ka 的气候变化. 科学通报, 1996, 41(16): 1489-1492.
- [16] 张威, 穆克华, 崔之久, 冯金良, 杨建强. 云南拱王山地区全新世以来的环境变化记录. 地球与环境, 2007, 35(4): 343-351.
- [17] 张美良, 程海, 林玉石, 覃嘉铭, 朱晓燕, 冉景丞, 杨琰, 陈会明, Edwards R L. 贵州荔波地区 2000 年来石笋高分辨率的气候记录. 沉积学报, 2006, 24(3): 339-348.

ACTA ECOLOGICA SINICA Vol. 33 ,No. 12 Jun. ,2013(Semimonthly)
CONTENTS

Frontiers and Comprehensive Review

Research on the disturbance of frost damage to forests LI Xiufen, ZHU Jiaojun, WANG Qingli, et al (3563)

Advances in salt-tolerance mechanisms of *Suaeda* plants ZHANG Aiqin, PANG Qiuying, YAN Xiufeng (3575)

Autecology & Fundamentals

Simulation and prediction of spatial patterns of *Robinia pseudoacacia* flowering dates in eastern China's warm temperate zone XU Lin, CHEN Xiaoqiu, DU Xing (3584)

Response of leaf functional traits of *Betula ermanii* saplings to the altitudinal Variation HU Qipeng, GUO Zhihua, SUN Lingling, et al (3594)

Analysis of genetic diversity of chinese pine (*Pinus tabulaeformis*) natural secondary forest populations and correlation with theirs habitat ecological factors LI Ming, WANG Shuxiang, GAO Baojia (3602)

Nitrogen addition affects root growth, phosphorus and nitrogen efficiency of three provenances of *Schima superba* in barren soil ZHANG Rui, WANG Yi, JIN Guoqing, et al (3611)

Effect of enclosure on soil C mineralization and priming effect in *Stipa grandis* grassland of Inner Mongolia WANG Ruomeng, DONG Kuanhu, HE Nianpeng, et al (3622)

Effects of slope position on gas exchange characteristics of main tree species for vegetation restoration in dry-hot valley of Jingsha River DUAN Aiguo, ZHANG Jianguo, HE Caiyun, et al (3630)

Impacts of biodegradation on desorption of phenol adsorbed on black carbon and soil HUANG Jixun, MO Jianmin, LI Feili, et al (3639)

Physiological and biochemical responses to different soil drought stress in three tree species WU Qin, ZHANG Guangcan, PEI Bin, et al (3648)

The ear-leaf ratio of population is related to yield and water use efficiency in the water-saving cultivation system of winter wheat ZHANG Yongping, ZHANG Yinghua, HUANG Qin, et al (3657)

Effects of ozone stress on photosynthesis, dry matter production and yield of rice under different seedling quality and plant density PENG Bin, LI Panlin, ZHOU Nan, et al (3668)

Effects of water and nitrogen under root restriction on photosynthetic characters of cotton plants grown with under-mulch drip irrigation TAO Xianping, LUO Honghai, ZHANG Yali, et al (3676)

The influence of light and growth stage on oxygen diffusion capacity of *Acorus calamus* roots WANG Wenlin, WANG Guoxiang, WAN Yinjing, et al (3688)

Isolation, screening and characterization of phytopathogen antagonistic endophytes from wild *Artemisia argyi* XU Yajun, ZHAO Longfei, CHEN Pu, et al (3697)

Performance of the two host-biotypes of *Aphis gossypii* (Hemiptera: Aphididae) on different cucurbitaceous host plants XIAO Yunli, YIN Xiangchu, LIU Tongxian (3706)

The effects of gender and temperature on the wintering behavior of Chinese merganser ZENG Binbin, SHAO Mingqin, LAI Hongqing, et al (3712)

Population, Community and Ecosystem

Assessment indicators system of forest ecosystem health based on the disturbance in Wangqing forestry YUAN Fei, ZHANG Xingyao, LIANG Jun (3722)

Heterogeneity evaluation of forest ecological system spatial structure in Dongting Lake LI Jianjun, LIU Shuai, ZHANG Huiru, et al (3732)

Landscape, Regional and Global Ecology

Climate-growth relationships of *Abies faxoniana* from different elevations at Miyaluo, western Sichuan, China XU Ning, WANG Xiaochun, ZHANG Yuandong, et al (3742)

Spatial-temporal distribution of net primary productivity and its relationship with climate factors in Inner Mongolia from 2001 to 2010	MU Shaojie, LI Jianlong, ZHOU Wei, et al (3752)
Influences of topographic features on the distribution and evolution of landscape in the coastal wetland of Yancheng	HOU Minghang, LIU Hongyu, ZHANG Huabing, et al (3765)
Vegetation landscape pattern change and characteristics of spatial distribution in south edge of Mu Us Sandy Land	ZHOU Shuqin, JING Yaodong, ZHANG Qingfeng, et al (3774)
Climate change recorded mainly by pollen from baixian lake during the last 5.5kaB.P.	DU Rongrong, CHEN Jing'an, ZENG Yan, et al (3783)
Characteristics of temperature field, humidity field and their eco-environmental effects in spring in the typical valley-city	LI Guodong, ZHANG Junhua, WANG Naian, et al (3792)
Spatial and temporal variation of surface water vapor over northern and southern regions of Qinling Mountains	JIANG Chong, WANG Fei, YU Xiaoyong, et al (3805)
Spatial variation of landscape eco-risk in open mine area	WU Jiansheng, QIAO Na, PENG Jian, et al (3816)
The comparision of ecological geographica regionlization in China based on Holdridge and CCA analysis	KONG Yan, JIANG Hong, ZHANG Xiuying, et al (3825)
Resource and Industrial Ecology	
Agricultural eco-efficiency evaluation in China based on SBM model	PAN Dan, YING Ruiyao (3837)
The energy analysis of large yellow croaker(<i>Larimichthys crocea</i>) aquaculture system around Dongji island in Zhoushan	SONG Ke, ZHAO Sheng, CAI Huiwen, et al (3846)
Optimum stripe arrangement for inter-cropping and mixed-cropping of different maize (<i>Zea mays L.</i>) genotypes	ZHAO Yali, KANG Jie, LIU Tianxue, et al (3855)
Effects of climate and soil on the carotenoid and cuticular extract content of cured tobacco leaves	CHEN Wei, XIONG Jing, CHEN Yi, et al (3865)
Urban, Rural and Social Ecology	
Carbon sequestration and oxygen release as well as cooling and humidification efficiency of the main greening tree species of Sha River, Chengdu	ZHANG Yanli, FEI Shimin, LI Zhiyong, et al (3878)

《生态学报》2013 年征订启事

《生态学报》是由中国科学技术协会主管,中国生态学学会、中国科学院生态环境研究中心主办的生态学高级专业学术期刊,创刊于1981年,报道生态学领域前沿理论和原始创新性研究成果。坚持“百花齐放,百家争鸣”的方针,依靠和团结广大生态学科研工作者,探索生态学奥秘,为生态学基础理论研究搭建交流平台,促进生态学研究深入发展,为我国培养和造就生态学科研人才和知识创新服务、为国民经济建设和发展服务。

《生态学报》主要报道生态学及各分支学科的重要基础理论和应用研究的原始创新性科研成果。特别欢迎能反映现代生态学发展方向的优秀综述性文章;研究简报;生态学新理论、新方法、新技术介绍;新书评价和学术、科研动态及开放实验室介绍等。

《生态学报》为半月刊,大16开本,300页,国内定价90元/册,全年定价2160元。

国内邮发代号:82-7,国外邮发代号:M670

标准刊号:ISSN 1000-0933 CN 11-2031/Q

全国各地邮局均可订阅,也可直接与编辑部联系购买。欢迎广大科技工作者、科研单位、高等院校、图书馆等订阅。

通讯地址:100085 北京海淀区双清路18号 电 话:(010)62941099; 62843362

E-mail: shengtaixuebao@rcees.ac.cn 网 址: www.ecologica.cn

本期责任编辑 吴文良

编辑部主任 孔红梅

执行编辑 刘天星 段 靖

生态学报

(SHENTAI XUEBAO)

(半月刊 1981年3月创刊)

第33卷 第12期 (2013年6月)

ACTA ECOLOGICA SINICA

(Semimonthly, Started in 1981)

Vol. 33 No. 12 (June, 2013)

编 辑 《生态学报》编辑部
地址:北京海淀区双清路18号
邮政编码:100085
电话:(010)62941099
www.ecologica.cn
shengtaixuebao@rcees.ac.cn

主 编 王如松
主 管 中国科学技术协会
主 办 中国生态学学会
中国科学院生态环境研究中心
地址:北京海淀区双清路18号
邮政编码:100085

出 版 科 学 出 版 社
地址:北京东黄城根北街16号
邮政编码:100717

印 刷 北京北林印刷厂
行 书 学 出 版 社
地址:东黄城根北街16号
邮政编码:100717
电话:(010)64034563

订 购 国外发行
E-mail:journal@cspg.net
全国各地邮局
中国国际图书贸易总公司
地址:北京399信箱
邮政编码:100044

广 告 经 营 许 可 证
京海工商广字第8013号

Edited by Editorial board of
ACTA ECOLOGICA SINICA
Add:18, Shuangqing Street, Haidian, Beijing 100085, China
Tel:(010)62941099
www.ecologica.cn
shengtaixuebao@rcees.ac.cn

Editor-in-chief WANG Rusong
Supervised by China Association for Science and Technology
Sponsored by Ecological Society of China
Research Center for Eco-environmental Sciences, CAS
Add:18, Shuangqing Street, Haidian, Beijing 100085, China

Published by Science Press
Add:16 Donghuangchenggen North Street,
Beijing 100717, China

Printed by Beijing Bei Lin Printing House,
Beijing 100083, China

Distributed by Science Press
Add:16 Donghuangchenggen North
Street, Beijing 100717, China
Tel:(010)64034563
E-mail:journal@cspg.net

Domestic All Local Post Offices in China
Foreign China International Book Trading
Corporation
Add:P. O. Box 399 Beijing 100044, China

